

TP 4 - Décomposition Periodic et Smooth

Imagerie sous-pixelique

Tong ZHAO (tong.zhao@eleves.enpc.fr)

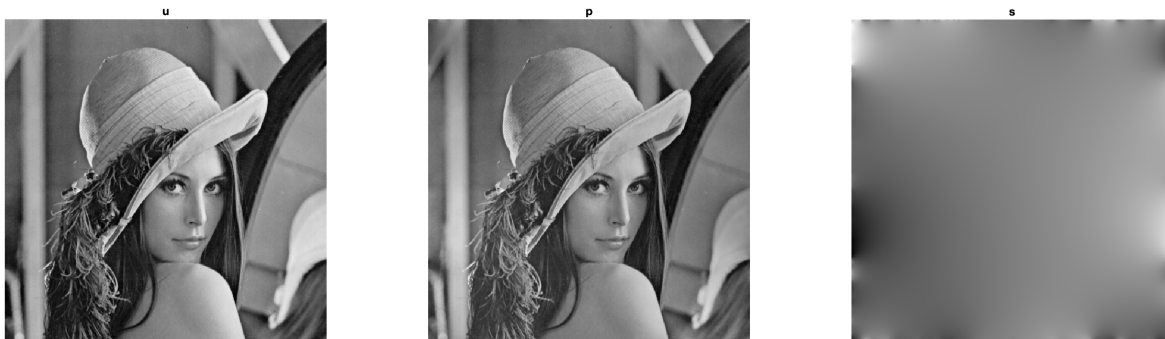
1 Exercice 11

(1) Le but de la fonction *perdecomp* est de décomposer une image en deux composante: la composante périodique et la composante lisse en utilisant la formule suivante:

$$\hat{s}(u)(q, r) = \frac{\hat{v}(q, r)}{4 - 2 \cos \frac{2\pi q}{M} - 2 \cos \frac{2\pi r}{N}}$$

Les premiers huit lignes construisent la matrice v , les quatre suivantes calculent s par la transformée de fourier et la dernière calcule p par la relation $p = u - s$ dans le domaine temporel.

(2) On visualise maintenant p et s sur l'image *lena.pgm*



On note que le paramètre `//` est obligatoire dans la fonction *imshow* parce que l'intervalle de p est plus grande que celle de s .

Après on vérifie que $p + s$ retrouve bien l'image originale u . Les figures suivantes montrent respectivement u , $p + s$ et $u - p - s$.

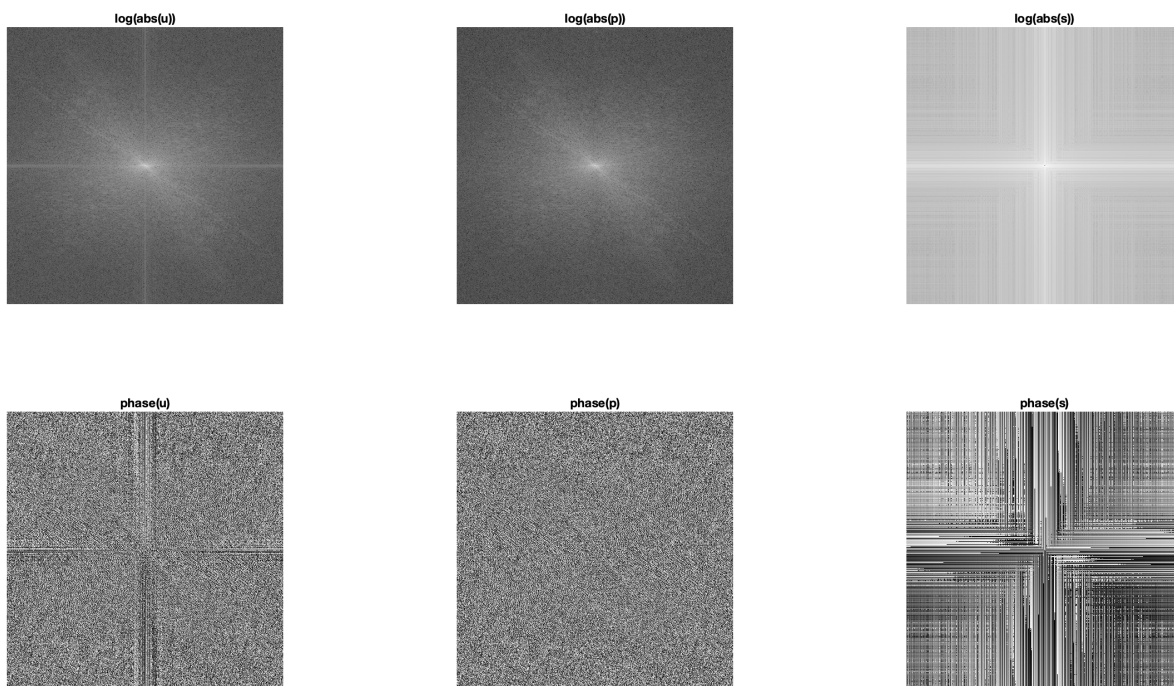


On visualise ensuite des versions périodisées pour visualiser les transitions des images u , p et s au bord du domaine.

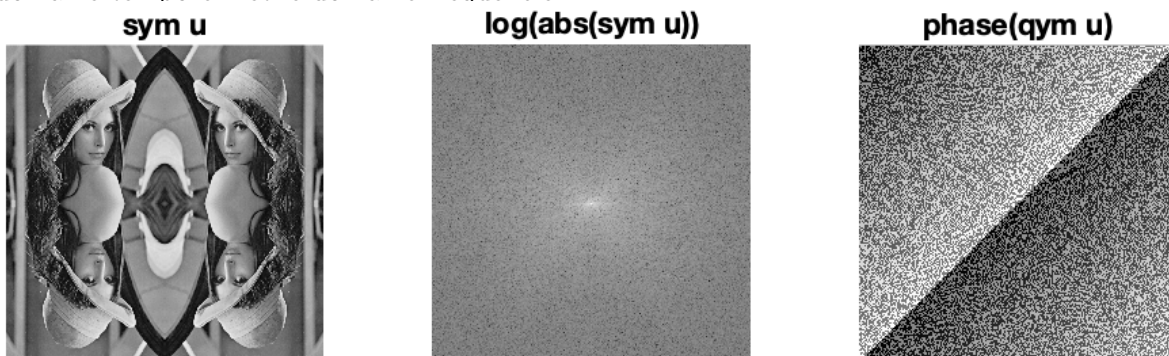


On voit bien que l'image p est continue sur le bord, néanmoins celle de u est discontinue, parce que les paires de pixel sur s aux bords en face ont les valeurs inverses.

On Visualisez enfin le log module et la phase de la transformée de Fourier des images u , p , s . On voit bien que s contient tous les informations de la phase de u .



Les figures suivantes nous montrent la transformée de Fourier de e la symétrisée de l'image u dans le domaine temporel et le domaine fréquentiel.



Quand on compare u et p dans le domaine temporel, on voit que la différent se trouve plutôt autour du bord. Le bord de u est discontinu. Dans le domaine fréquentiel, p perte l'information de la phase et une partie de l'information de module. Le module de u a des fréquences très fortes sur l'axes. Donc en pratique, cette opération atténue les artefacts causées par ces fréquences.

Par rapport à la symétrisation, cette opération n'élargit pas la domaine de \hat{p} , en même temps il garde les informations de la transformée de fourier.

2 Exercice 12

(1) On calcule tout d'abord la transformée de Fourier de $u - per(u)$:

$$\hat{u}(q, r) - \hat{per}(u)(q, r) = \frac{\hat{v}(q, r)}{4 - 2 \cos \frac{2\pi q}{M} - 2 \cos \frac{2\pi r}{N}}$$

où $v = v_1 + v_2$ et:

$$v_1(a, b) = \begin{cases} u(a, b) - u(M - 1 - a, b), & \text{si } a \in \{0, M - 1\} \\ 0, & \text{sinon} \end{cases}$$

$$v_2(a, b) = \begin{cases} u(a, b) - u(a, N - 1 - b), & \text{si } b \in \{0, N - 1\} \\ 0, & \text{sinon} \end{cases}$$

Sachant que v ne dépend que de la restriction de u à $\partial\Omega$, $u - per(u)$ ne dépend que de la restriction de u à $\partial\Omega$.

(2) On calcule le laplacien de $u - per(u)$:

$$\Delta(u - per(u))(z) = \Delta s(z) = v(z) = \sum_{y \in W(z)} u(z) - u(y)$$

Quand $z \in \mathring{\Omega}$, $W(z) = \emptyset$, donc $\Delta s(z) = 0$, qui signifie que $u - per(u)$ est harmonique sur $\mathring{\Omega}$.

(3) On sait que:

$$F(p) = p^T Q_1 p + (u - p)^T Q_2 (u - p)$$

On calcule ensuite son gradient et le met en 0:

$$\nabla F(p) = 2(Q_1 + Q_2)p - 2Q_2 u = 0$$

Donc $p = (Q_1 + Q_2)^{-1} Q_2 u$. Sachant que $u \in \mathbb{R}^\Omega$ et Q_2 est inversible, per est une bijection linéaire de \mathbb{R}^Ω .

(4) A partir de la dernière question, on a $(Q_1 + Q_2)p = Q_2 u$. On suppose que $\lambda \in \mathbb{C}$ est une valeur propre de p et v est le vecteur associé avec λ .

$$(Q_1 + Q_2)\lambda u = Q_2 u$$

Soit u^* la transconjugate de u ,

$$\lambda u^*(Q_1 + Q_2)u = u^*Q_2u$$

Q_1 est symétrique positive et Q_2 est symétrique définie positive. Donc on a λ est réelle et:

$$\lambda = \frac{u^*Q_2u}{u^*Q_1u + u^*Q_2u} \in (0, 1)$$

(5) A partir des équations suivantes:

$$F(p, s) = p^T Q_1 p + s^T Q_2 s$$

$$F(p, s) = E(p, s) + \frac{1}{|\Omega|^2} \left(\sum_{x \in \Omega} s(x) \right)^2$$

$$s^T Q_2 s = \sum_{x, y \in \Omega, |x-y|=1} (s(x) - s(y))^2 + \frac{1}{|\Omega|^2} \left(\sum_{x \in \Omega} s(x) \right)^2$$

$$E(p, s) = \sum_{x \in \Omega, y \in \mathbb{Z}^2/\Omega, |x-y|=1} (p(x) - p(y))^2 + \sum_{x, y \in \Omega, |x-y|=1} (s(x) - s(y))^2$$

on déduit que:

$$p^T Q_1 p = \sum_{x \in \Omega, y \in \mathbb{Z}^2/\Omega, |x-y|=1} (p(x) - p(y))^2 = \sum_{x \in \partial\Omega} \sum_{y \in W(x)} (p(x) - p(y))^2$$

Quand $u \in \mathcal{P} = \{u : \Omega \rightarrow \mathbb{R}, \forall x \in \partial\Omega, \forall y \in X(x), u(y) = u(x)\}$, $u \in \text{Ker}(Q_1)$.

On a $p(u) - u = ((Q_1 + Q_2)^{-1}Q_2 - I)u = -(Q_1 + Q_2)^{-1}Q_1u$, cela signifie que $p(u) - u$ et Q_1 ont le même noyau. On en déduit que l'ensemble des points fixes de p est P .

(6) $Q_1 + Q_2$ est symétrique positive et Q_2 est symétrique définie positive. Selon le théorème, il y a une matrice P inversible telle que $P^T(Q_1 + Q_2)P = D$ où D est une matrice diagonale et $P^T Q_2 P = I$.

Supposons que A soit la matrice de p dans la base canonique de \mathbb{R}^Ω , on a $(Q_1 + Q_2)A = Q_2$. Alors:

$$P^{-1}AP = P^T(Q_1 + Q_2)PP^{-1}AP = P^T(Q_1 + Q_2)AP = P^T Q_2 P = D$$

cela signifie que p est diagonalisable.

(7) En utilisant la conclusion de la question (5), on peut toujours projeter p dans une base P où

$$A = \begin{pmatrix} D & 0 \\ 0 & I \end{pmatrix}$$

Sachant que les valeurs propres de p sont dans l'intervalle $(0, 1)$, $D^\infty \rightarrow 0$. Donc

$$A^\infty = \begin{pmatrix} 0 & 0 \\ 0 & I \end{pmatrix}$$

dans la base P . Les vecteurs associés à I forme une base de $\ker(p - I)$, donc p^∞ est une projection sur \mathcal{P} .

Fiche 1: main.m

```

1      %% Exercise 11
2
3      %% Q2
4
5      u = double(imread('images/lena.pgm')) / 255.;
6      [p,s] = perdecomp(u);
7
8      % plot p and s
9      figure(1);
10     subplot(1, 3, 1);
11     imshow(u, []);
12     title('u');
13     subplot(1, 3, 2);
14     imshow(p, []);
15     title('p');
16     subplot(1, 3, 3);
17     imshow(s, []);
18     title('s');
19
20     % Verify p + s = u
21     figure(2);
22     subplot(1, 3, 1);
23     imshow(u);
24     title('u');
25     subplot(1, 3, 2);
26     imshow(p + s);
27     title('p+s');
28     subplot(1, 3, 3);
29     imshow(p+s-u);
30     title('diff');
31
32     figure(3);
33     subplot(1, 3, 1);
34     imshow(kron(ones(2,2),u), []);
35     title('u');
36     subplot(1, 3, 2);
37     imshow(kron(ones(2,2),p), []);
38     title('p');
39     subplot(1, 3, 3);

```

```

40 imshow(kron(ones(2,2),s),[ ]);
41 title('s');
42
43 fu = fft2(u);
44 fp = fft2(p);
45 fs = fft2(s);
46
47 figure(4);
48 subplot(2, 3, 1);
49 imshow(fftshift(log(abs(fu))),[ ]);
50 title('log(abs(u))');
51 subplot(2, 3, 4);
52 imshow(fftshift(angle(fu)),[ ]);
53 title('phase(u)');
54 subplot(2, 3, 2);
55 imshow(fftshift(log(abs(fp))),[ ]);
56 title('log(abs(p))');
57 subplot(2, 3, 5);
58 imshow(fftshift(angle(fp)),[ ]);
59 title('phase(p)');
60 subplot(2, 3, 3);
61 imshow(fftshift(log(abs(fs))),[ ]);
62 title('log(abs(s))');
63 subplot(2, 3, 6);
64 imshow(fftshift(angle(fs)),[ ]);
65 title('phase(s)');
66
67 % symmetrie de u
68 symu = fsym2(u);
69 fsymu = fft2(symu);
70
71 figure(5);
72 subplot(1, 3, 1);
73 imshow(symu,[ ]);
74 title('sym u');
75 subplot(1, 3, 2);
76 imshow(fftshift(log(abs(fsymu))),[ ]);
77 title('log(abs(sym u))');
78 subplot(1, 3, 3);
79 imshow(fftshift(angle(fsymu)),[ ]);
80 title('phase(qym u)');

```